

# Model poláru (uzavřený rotátor)

EP 17

- predstava: rotující vodivá koule s mg. polem

$$\vec{B} = \frac{\mu_0 R_x^3}{2r^3} (2\cos\varphi \hat{e}_r + \sin\varphi \hat{e}_\theta)$$

- je to klasický tor dipól, který se dostane od smyčky s mg. momentem  $\vec{m} = I \vec{\omega}$  a buďže alternativní způsob je to:

$$\vec{B} = \frac{\mu_0}{4\pi} \frac{1}{r^3} \left( \frac{3\vec{m} \cdot \vec{r}}{r^2} \vec{r} - \vec{m} \right)$$

$$(\text{výplní obecně je to: } \vec{B} = \frac{\mu_0}{4\pi} I \oint \frac{d\vec{l} \times \vec{r}}{r^3})$$

- vnitřní hřebdy predst. (uzavřený) vakuu  $\rightarrow$

$$\nabla \Phi_e = \frac{1}{r^2 \sin\varphi} \left[ \frac{\partial}{\partial r} \left( r^2 \sin\varphi \frac{\partial}{\partial r} \right) + \frac{\partial}{\partial \varphi} \left( \sin\varphi \frac{\partial}{\partial \varphi} \right) \right] \Phi_e = 0$$

- řešení:  $\Phi_e = \frac{C_1}{r^3} P_2(\cos\varphi) + C_2$

- $P_2(\cos\varphi) = \frac{3}{2} \cos^2\varphi - \frac{1}{2}$  : Legendreuv polynom 2. rádu

- spojitost na povrchu (kdežto slouží  $E = E_r$ ) dleší:

$$\Phi_e = - \frac{\mu_0 S R_x^5}{3r^3 c} P_2(\cos\varphi)$$

$$\vec{E} = -\nabla \Phi_e = - \frac{\mu_0 S R_x^5}{c r^4} (P_2(\cos\varphi) \hat{e}_r + \sin\varphi \cos\varphi \hat{e}_\theta)$$

- indukovaný plošný náboj na povrchu:

$$\sigma_e = \frac{1}{4\pi} \left[ \lim_{r \rightarrow R_x+} E_r - \lim_{r \rightarrow R_x-} E_r \right] = - \frac{\mu_0 S R_x}{4\pi c} \cos^2\varphi$$

$\rightarrow$  silný el. pole  $\rightarrow$  vytváření nabitéch částic

$\rightarrow$  nabité magnitosféra  $\rightarrow$  namírování níz. předrostokladu vakuu vnitřek

- finální výsledek:  $r < R_x$ :  $E \cdot B = 0$  (odl. force-free)

$$r > R_x : E \cdot B = - \frac{\partial R_x}{c} \frac{R_x^7}{r^7} \mu_0^2 \cos^2\varphi$$

$$\mathbf{V}_T \times \mathbf{B}_P + \mathbf{V}_P \times \mathbf{B}_T = V_4 B_z \hat{\mathbf{e}}_x - V_4 B_R \hat{\mathbf{e}}_z - B_4 V_z \hat{\mathbf{e}}_x + B_4 V_R \hat{\mathbf{e}}_z =$$

$$\mathbf{a} = (a_x, a_y, a_z)$$

$$= V_4 \frac{D\psi}{R} - B_4 \{ B_z \hat{\mathbf{e}}_x + B_R \hat{\mathbf{e}}_z \} = \frac{V_4 - 3B_4}{R} D\psi$$

EP 176

$$\nabla f = \frac{\partial f}{\partial r} + \frac{1}{r} \frac{\partial f}{\partial \theta} + \frac{1}{r \sin \theta} \frac{\partial f}{\partial \varphi}$$

$$E_r = + \frac{3C_1}{r^4} \cos \nu \sin \nu \quad E_\theta = + \frac{3C_1}{r^4} P_1(\cos \nu) \quad \text{OUT} \quad E = -\partial \psi$$

$$\text{IN: } \mathbf{E} = \frac{\mathbf{v} \times \mathbf{B}}{c} \quad V_4 = 2r \sin \nu \quad (r, \varphi, \frac{\nu}{R})! \quad \nu = -\varphi!$$

$$E_{r\theta} = - \frac{V_4}{c} B_r = - \frac{B_0 R_x^3 R}{cr^2} \sin \nu \cos \nu \rightarrow C_1 = - \frac{8B_0 R_x^3 R R_x^2}{c \beta}$$

$$E_r = + \frac{2r B_0 R_x^3}{2c r^3} \sin^2 \nu$$

$$E_{r\theta} = + \frac{2R_x B_0}{2c} \sin^2 \nu \quad E_{\theta\theta} = + \frac{2B_0 R_x}{2c} (3 \cos^2 \nu - 1)$$

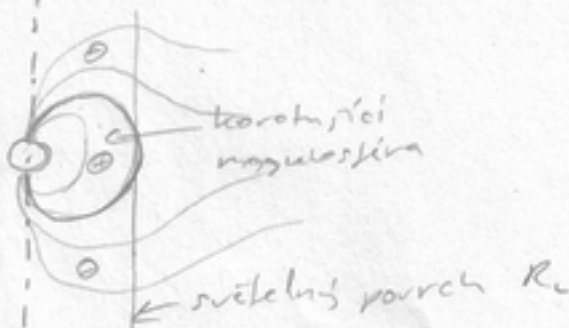
$$E_\theta = + \frac{2R_x B_0}{4\pi c} \cos^2 \nu$$

potencjal taki  $\mathbf{E} = \frac{\mathbf{v}}{c} \times \mathbf{B}$  (tj. z operatorem znanym, aby to było sprawnie)

P

jeśli ten dobrze rozmawia, tak problem wejści orientacji  $a_x = -e_x$   
porządku w'it

- v pravidle, re je my. pole zavřeli do plochosti, dochází k deformaci my. náčin kvůli omezením konců siloharv (v < c)
- zjednodušený model:
  - siloharv pod  $R_L = \frac{c}{2}$  máj klasický char
  - siloharv nad  $R_L$  jsou uzavřeni v nekonvem
  - ano, že to nekonzistentní



siloharv povrch  $R_L$

### Energie záření

- predstavujeme si, že záření pochází od řady siloharv uzavřených v nekonvem, resp. od osy, které mohou mít různou polohu do nekonvem mít.
- kritický úhel - místo na povrchu, z nějž vychází siloharva, která se dotýká sušebního kruhu
  - uvažuje odleglost  $L_{\text{om}}$ , že my. tot uzavřený plachta = 0
  - plocha se zdeží být - na povrchu  $\omega \in (0, \pi/2)$ , takže podíl siloharv (tah je z definice 0) a na  $\omega = \pi/2$  polarovací výjma  $v < R_L$   $\Theta$  uzavření  $v \rightarrow \infty$ , když se předp. mohou tah →

$$N_1 = 2\pi \int_0^{\pi/2} R_x^2 \sin \theta B_r d\theta = 2\pi B_0 K_x^2 \int_0^{\pi/2} \sin^2 \theta d\theta = \pi B_0 K_x^2 \sin^2 \pi/2$$

$$N_2 = 2\pi \int_{R_L}^{\infty} B_r R dR = \pi B_0 K_x^2 \int_{R_L}^{\infty} \frac{1}{R^2} dR = \frac{\pi B_0 K_x^2}{R_L}$$

$$N_1 = N_2 \Rightarrow \sin^2 \pi/2 = \frac{R_L}{R_L} = \frac{2R_L}{c}$$

+ z pochodu výše uvedené predstavy, že „klesající“ siloharv pod  $R_L$  je to tedy trochu diví. Lze integrovat po plátnu, kdežto by měl uzavření polarizace od  $R_L$  - výjde to samozřejmě stejně (odrodit, když je klesající) a není tam tak markantní rozpor

- ploda, ze kteri vydázejí unikácií silového pole, a částice:  $A = \pi R_x^2 \sin^2\varphi = \pi R_x R^3/c$
- hustota výboje v magnetosfére nad póly (z force-free):  

$$\rho_e = \frac{1}{4\pi} \nabla \cdot E = \frac{1}{4\pi c} \nabla \cdot ((\mathcal{R} \times r) \times B) = \frac{1}{4\pi c} \mathcal{R} B_0$$
- pravidlo částeček  

$$N \sim 2 \frac{\rho_e}{2} A e = \frac{1}{2c} \mathcal{R}^2 B_0 R_x^3$$

EP 19

- mg. pole produkující rel. sevřením:

$$\gamma_0 \approx \frac{\pi B_0 \mathcal{R}_x^3}{c}$$

- mg. pole ve velkých vzdálenostech - při polohách z osy lundon silnější začlenění do spirály

na velkých  $r$ :  $\gamma_0 \approx r^2 B_r$

- částice se může rozbírat  
rychlosť  $c$  v rad. směru a průlom získat „magnetickou“ na silnějším rotující fer. magnetostí  $r\mathcal{R}$ , vzhled

$$\frac{B_0}{B_r} \sim \frac{r\mathcal{R}}{c} \rightarrow B_0 \approx \frac{\mathcal{R}}{rc} \gamma_0 \approx \frac{\pi \mathcal{R}^2 B_0 R_x^3}{2c^2 r} > B_r, B_s$$

Poznámka:  $P \approx \frac{c}{4\pi} \int (E \times B) \cdot dS \approx c^2 B_0^2 r^2 \approx \frac{\pi^2}{4c^2} \mathcal{R}^4 B_0^2 R_x^6$

Kinetická energie  $E \propto \mathcal{R}^2 \rightarrow i \propto \mathcal{R}^2 \propto \mathcal{R}^4 \Rightarrow$   
 $\Rightarrow \underline{i \propto \mathcal{R}^2}$

- vyrovnání rotátoru  $\omega$  ve shukárosti nezávl., ale rádiové vlny  
to výfukového toku je s ohledem shukárosti rotujícího difrakce, kterou je náležit Landau & Lifschitz  $\propto m^2 \mathcal{R}^4 \sin^2\theta$

## Reči a věr oříšek

EP 20

- neutronové hrázdny ( $\Omega \approx 2\pi$ ,  $R \approx 10\text{ km}$ )
- frekvence  $f \approx 1000\text{ Hz}$
- mag. pole  $\approx 10^{13}\text{ G} = 10^9\text{ T}$
- el. pole  $\approx 10^{13}\text{ V/cm}$
- zpracování:  $P/\dot{P} \approx 10^4\text{ yr}$  - pozorování rádiových zdrojů mívají dost energie - je to patrně důležitý faktor
- doba trvání pulsu  $\approx 0,1\text{ s} \rightarrow$  rozsah kmitočtu  $\approx 10^9$
- zdr. rotujícího dipólu není detektováno - patrně polohou v magnetickém polech (takže by chybělo schopnost detektovat a vypočítat a v optimálním případě z toho udělat předpověď na následní měření frekvence)
- rentgenové pulsary - zde je jiný model, - predstavuje se jako hruška ve dvojhrázdovém systému
- náhlé změny (zkrášení) periody způsobené změnami struktury (kontakty) - hrázdovací
- PSR 1913 + 16 - nejdélnější detektovaný grav. vln.